

05.1;15.2

## Тестирование на изгиб наноразмерных консолей в атомно-силовом микроскопе

© А.В. Анкудинов<sup>1</sup>, М.М. Халисов<sup>1,2</sup>

<sup>1</sup> Физико-технический институт им. А.Ф. Иоффе РАН, Санкт-Петербург, Россия

<sup>2</sup> Институт физиологии им. И.П. Павлова РАН, Санкт-Петербург, Россия

E-mail: alexander.ankudinov@mail.ioffe.ru

Поступило в Редакцию 1 сентября 2021 г.

В окончательной редакции 18 октября 2021 г.

Принято к публикации 20 октября 2021 г.

Консоли и мостики из наносвитков  $\text{MgNi}_2\text{Si}_2\text{O}_5(\text{OH})_4$  испытывались в атомно-силовом микроскопе на изгиб. Условия закрепления объектов анализировались по данным испытаний и учитывались в расчете модуля Юнга наносвитков. Результаты для консолей и мостиков хорошо согласовывались, если вторые моделировались как трехпролетные балки, а первые — как балки на упругом основании с выносной консолью.

**Ключевые слова:** атомно-силовая микроскопия, изгиб, наносвиток, модуль Юнга, функции Крылова.

DOI: 10.21883/PJTF.2022.03.51978.19010

Модуль Юнга подвешенного квазиодномерного нано-объекта (трубки, стержня, свитка) можно определить с помощью атомно-силовой микроскопии (АСМ) по методике испытаний на изгиб [1]. Консоли и мостики формируются в результате высыхания коллоидной капли тестируемых объектов на различных подложках с углублениями [2,3]. Методика опирается на АСМ-измерения профиля жесткости объекта и теорию слабых изгибов стержней [4]. Основную погрешность измерений вызывают неизвестные условия закрепления. Расчеты модуля Юнга мостика, если считать его опертой или защемленной балкой, различаются в 4 раза. Такая неопределенность устраняется [5,6] путем сравнения измеренного профиля с профилем жесткости центрального пролета модельной трехпролетной балки (рис. 1, *a*, вверху). Если удлинять боковые пролеты, центральный пролет плавно перейдет из защемленного состояния в опертое. Значение  $\lambda = L/l$ , согласующее теорию и измерение, применяется для корректировки модуля Юнга. На практике могут деформироваться как подвешенный объект, так и подложка. В этом случае полезна модель, когда объект оперт на упругое основание (рис. 1, *a*, внизу). В этой модели, однако, нет компактной формулы для профиля жесткости [7]. Посредством АСМ на изгиб испытывались не только мостики, но и консоли [3]. На результат измерений также влияют условия закрепления консолей на подложке. Устранить связанную с этим неопределенность значений модуля Юнга консоли было целью настоящей работы.

Вверху на рис. 1, *b* показана схема подпертой консольной балки (модель I): первый пролет защемлен в точке  $x = -L$ , оперт в точке  $x = 0$ ; второй пролет, консоль длиной  $l$ , оперт в точке  $x = 0$ , сила  $F$  приложена в точке  $x = X$ ,  $X \in (0, l]$ ; модуль Юнга  $E$  и момент инерции балки  $I$ . Формулу изгиба консоли  $z(x)$  в этой статически неопределимой

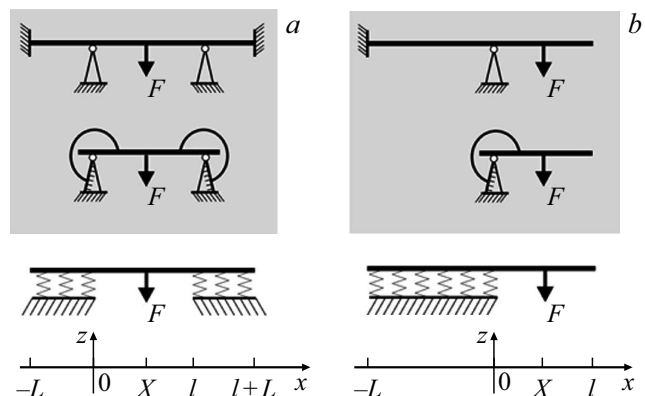
задаче можно получить, применяя метод сложения действия сил [8] (вывод формулы представлен в дополнительных материалах в онлайн-версии статьи). Приведем ее

$$z(x) = F \frac{3XLx + 6Xx^2 - 2x^3}{12EI}, \quad x \in [0, X], \quad X \in (0, l]. \quad (1)$$

Прямо зависимость (1) в АСМ не проверить, но можно измерить жесткость или обратно пропорциональный ей изгиб (деформацию) консоли в точке нагрузки  $x = X$ :

$$z(X) = F \frac{3LX^2 + 4X^3}{12EI}. \quad (2)$$

Нормируя  $z(X)$  на максимум  $z(l)$ , а  $X$  — на длину консоли  $l$ , получаем для модели I формулу подгонки



**Рис. 1.** *a* — условия закрепления наномостика: схемы трехпролетной балки (вверху) и балки на упругом основании (внизу) рассматривались в [5] и [7] (схемы вверху и в центре — балка на кольцевых пружинах, соответствующих граничным условиям  $z''(0) = 4z'(0)/L$  и  $z''(l) = -4z'(l)/L$ , — эквивалентны). *b* — условия закрепления консоли (настоящая работа): модель I — схемы вверху и в центре, модель II — схема внизу.

Функции Крылова

$i$	$Y_i$	$K_i$
1	$Y_1(x) = \cosh x \cos x$	$K_1(x) = \frac{1}{2}(\cosh x + \cos x)$
2	$Y_2(x) = \frac{1}{2}(\cosh x \sin x + \sinh x \cos x)$	$K_2(x) = \frac{1}{2}(\sinh x + \sin x)$
3	$Y_3(x) = \frac{1}{2} \sinh x \sin x$	$K_3(x) = \frac{1}{2}(\cosh x - \cos x)$
4	$Y_4(x) = \frac{1}{4}(\cosh x \sin x - \sinh x \cos x)$	$K_4(x) = \frac{1}{2}(\sinh x - \sin x)$

профиля изгиба к эксперименту

$$\xi_1(\chi) = \frac{4}{4+3\lambda} \chi^3 + \frac{3\lambda}{4+3\lambda} \chi^2, \quad \chi = \frac{X}{l}, \quad \lambda = \frac{L}{l}, \quad (3a)$$

и, подставляя в (2)  $X = l$ , выражения для расчета модуля Юнга  $E$

$$E = \frac{F}{z(l)} \frac{l^3}{3I} \frac{4+3\lambda}{4} = E_0 \Phi_1, \quad (3b)$$

$$\Phi_1 = \frac{4+3\lambda}{4}, \quad E_0 = \frac{F}{D^{\max}} \frac{64l^3}{3\pi d^4}.$$

Здесь введены модуль Юнга  $E_0$  жестко фиксированной консоли, максимальная деформация  $D^{\max} = z(l)$ , фактор коррекции  $\Phi_1$ ,  $I = \pi d^4/64$  для цилиндрической балки с диаметром  $d$ .

Схема модели I эквивалентна консоли на кольцевой пружине (рис. 1, *b*, в центре). Момент сил  $EIz''$  [4], созданный пружиной, и угол отклонения консоли  $z^I$  линейно связаны. Изгиб такой консоли определяется решением уравнения  $z^{IV} = 0$  с граничными условиями  $z(0) = 0$ ,  $z''(0) = 4z^I(0)/L$ ,  $z''(X) = 0$ ,  $z'''(X) = -F/EI$ . Несложно убедиться (см. также дополнительные материалы в онлайн-версии статьи), что решением будет формула (1).

Внизу на рис. 1, *b* показана схема балки на упругом основании с выносной консолью (модель II): первый пролет на упругом основании  $x \in [-L, 0]$ , коэффициент постели  $k_W$ ; второй пролет ( $x \in [0, l]$ ) подвешен. В общем виде изгиб первого пролета [9] задается линейной комбинацией  $z_1(x)$  функций Крылова  $Y_i$  (см. таблицу), а изгиб консоли — полиномом  $z_2(x)$ :

$$z_1(x) = \sum_{i=1}^4 A_i Y_i(\beta x), \quad \beta = \sqrt[4]{\frac{k_W}{4EI}} = \sqrt[4]{\frac{16k_W}{\pi E}} d^{-1},$$

$$z_2(x) = \sum_{i=0}^3 a_i x^i. \quad (4)$$

Для  $I$  в (4) использован момент инерции сечения цилиндрической балки с диаметром  $d$ .

Был определен (см. дополнительные материалы в онлайн-версии статьи) аналитический вид  $z_1(x)$  и  $z_2(x)$  для граничных условий  $z_1^I(-L) = z_1(-L) = 0$ ,  $z_1^{II}(0) = z_2^{II}(0)$ ,  $z_1^I(0) = z_2^I(0)$  и  $z_1(0) = z_2(0)$ ,  $z_2^{III}(X) = -F/EI$  и  $z_2^{II}(X) = 0$ .

Основные соотношения модели II:

формула подгонки к эксперименту

$$\xi_{II}(\chi) = [3K_4(2\beta_l \Lambda) + 6K_3(2\beta_l \Lambda)(\beta_l \chi) + 6K_2(2\beta_l \Lambda)(\beta_l \chi)^2 + 2(K_1(2\beta_l \Lambda) - 1)(\beta_l \chi)^3] [3K_4(2\beta_l \Lambda) + 6K_3(2\beta_l \Lambda)\beta_l + 6K_2(2\beta_l \Lambda)\beta_l^2 + 2(K_1(2\beta_l \Lambda) - 1)\beta_l^3]^{-1},$$

$$\Lambda = L/l, \quad \beta_l = \beta l; \quad (5a)$$

фактор коррекции

$$\Phi_{II} = 1 + \frac{3K_4(2\beta_l \Lambda) + 6K_3(2\beta_l \Lambda)\beta_l + 6K_2(2\beta_l \Lambda)\beta_l^2}{2(K_1(2\beta_l \Lambda) - 1)\beta_l^3},$$

$$E = E_0 \Phi_{II}. \quad (5b)$$

Функции Крылова  $K_i$  приведены в таблице.

В моделях I и II по одному параметру подгонки:  $\lambda$  (см. (3a)) и  $\beta_l$  (см. (5a)); параметр  $\Lambda$  в каждом испытании известен. Фактор  $\Phi_I$  может быть бесконечным и не зависит от жесткости подложки. Фактор  $\Phi_{II}$  большой на мягких ( $\beta_l$  мал) и  $\sim 1$  на твердых подложках. Можно ожидать, что модель I будет завышать значения модуля Юнга по сравнению с моделью II.

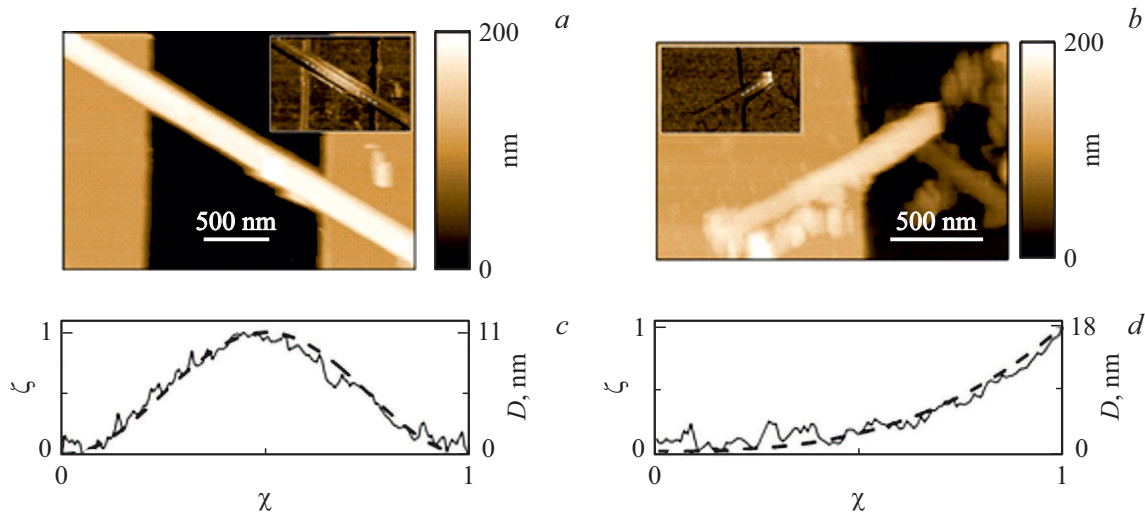
АСМ-методика испытаний подвешенного объекта на изгиб (модели I и II) были применены для определения модуля Юнга наносвитков состава  $MgNi_2Si_2O_5(OH)_4$ . Из наносвитков, полученных методом гидротермального синтеза [10], была приготовлена суспензия в изопропанол-ле, капля которой наносилась и высыхала на кремниевой тестовой решетке TGZ2 (НТ-МДТ СИ, Россия). Образцы исследовались в режиме АСМ PeakForce QNM прибора BioScope Catalyst (Bruker, США). Кроме деформации детектировались сигналы топографии и ошибки пиковой силы, которые нужны для корректировки значений деформации [6] с учетом вклада от проскальзывания АСМ-зонда на наклонных участках образца [11]. АСМ-данные обрабатывались в программе Gwyddion 2.55.

Из изображения скорректированной деформации извлекались два профиля вдоль наносвитка [5]. Длиной первого профиля считалась подвешенная часть наносвитка на изображении топографии, длина второго определялась по области ненулевой деформации. Нормированные по вертикали и горизонтали профили анализировались по моделям I и II для консолей и по алгоритму [5] для мостиков с подгоночной зависимостью

$$\xi(\chi) = 4^3(\chi - \chi^2)^3 \frac{2 + \lambda}{(1 + 2\lambda)(2 + 3\lambda)} + 4^2(\chi - \chi^2)^2 \frac{6\lambda(1 + \lambda)}{(1 + 2\lambda)(2 + 3\lambda)}, \quad (6a)$$

выражениями для фактора коррекции  $\Phi$  и модуля Юнга  $E$

$$\Phi = \frac{4\lambda + 2}{\lambda + 2}, \quad E_{CB} = \frac{F}{D^{\max}} \frac{l^3}{3\pi d^4}, \quad E = E_{CB} \Phi, \quad (6b)$$



**Рис. 2.** АСМ-данные по высоте рельефа на участках TGZ2 с наносвитками  $\text{MgNi}_2\text{Si}_2\text{O}_5(\text{OH})_4$ , образующими мостик (а) и консоль (b) (на вставках показаны соответствующие данные для сигнала скорректированной деформации  $D$ ; в обоих случаях перепад сигнала 0–20 нм, профили  $D$  извлекались вдоль пунктирной линии), и нормированные профили  $\xi(\chi)$  мостика (c) и консоли (d). Параметры визуализации: жесткость кантилеверов FMG01 равна 2.4 (a, c) и 3.6 N/m (b, d); частота и амплитуда вертикальных осцилляций зонда — 1 kHz и 150 nm; частота строчной развертки — 0.3 Hz; пиковая сила  $F = 80$  (a, c) и 15 nN (b, d). На части a длина пролета мостика  $l = 1701$  nm; на части b длина консоли  $l = 417$  nm, а длина неподвешенной части балки  $L = 859$  nm.

$E_{CB}$  — модуль Юнга в случае заземленной балки,  $\chi = X/l$  и  $\lambda = L/l$  (см. рис. 1, a).

Из двух профилей деформации оставляли профиль с лучшей подгонкой (меньшей невязкой) кривыми (3a), (5a) или (6a). За внешний диаметр наносвитка  $d$  была взята средняя высота неподвешенной части. Подставляя параметр подгонки, размеры подвешенной части, измеренное значение  $F/D^{\max}$  в (3b), (5b) либо в (6b), получали искомую величину  $E$ .

На рис. 2 приведен пример АСМ-данных для мостика и консоли. Модуль Юнга мостика составил  $E = 134$  GPa при параметре подгонки  $\lambda = 0.42$ , факторе коррекции  $\Phi = 1.52$  ( $l = 1701$  nm,  $d = 81$  nm,  $F/D^{\max} = 7.2$  N/m). Результаты анализа данных консоли по модели II:  $E = 63$  GPa,  $\beta_l = 5.47$ ,  $\Phi_{II} = 1.66$  ( $l = 417$  nm,  $d = 57$  nm,  $\Lambda = 2.06$ ,  $F/D^{\max} = 0.81$  N/m). Результаты для нее же по модели I:  $E = 63$  GPa,  $\lambda = 0.87$ ,  $\Phi_I = 1.65$ . Такое совпадение модулей Юнга было случайным.

Большим  $\beta_l$  в модели II и малым  $\lambda$  в модели I соответствуют изгибы консоли по закону  $\chi^3$ . Чаше наблюдались сильные отклонения от  $\chi^3$ . Из 18 консолей, согласно модели I, пять изгибались по закону  $\chi^2$ , имея бесконечное  $\Phi_I$ . Среднее значение по оставшимся 13 консолям  $E = 496 \pm 1057$  GPa ( $\Phi_I = 7.42 \pm 13.30$ ). Для 12 исследованных мостиков  $E = 134 \pm 148$  GPa ( $\Phi = 1.52 \pm 0.56$ ), что меньше в  $\sim 4$  раза. Напротив, хорошее согласие с модулем Юнга мостиков дал анализ всех 18 консолей по модели II:  $E = 109 \pm 86$  GPa ( $\Phi_{II} = 3.05 \pm 1.15$ ). Поэтому в испытаниях консолей предпочтителен анализ по модели II.

Рассмотрим  $k_W$  — связь погонной силы и смещения упругого основания в модели II. По 18 испытаниям среднее значение  $(\beta_l d/l)^4 = 0.072$ . Согласно (4),  $(\beta_l d/l)^4 = 16k_W/\pi E$  и  $k_W = 0.014E$ . Жесткий цилиндр, наносвиток длиной  $L$ , вдавливается на глубину  $z_i$  в мягкую подложку силой  $F_i$ :  $F_i/L \approx [\pi E_S/4(1 - \nu_S^2)]z_i$  [12],  $E_S$  и  $\nu_S$  — модуль Юнга и коэффициент Пуассона подложки. Отсюда  $E_S \approx k_W = 0.014E \approx 2$  GPa ( $E$  — модуль Юнга наносвитка). У выступов решетки  $\text{SiO}_2$  TGZ2 модуль Юнга 70 GPa, поэтому значение  $E_S$ , по-видимому, характеризует загрязнения решетки и наносвитков.

В заключение отметим, что предложена улучшенная АСМ-методика испытаний подвешенного объекта на изгиб, учитывающая как он закреплен на подложке. Изучены две модели условий закрепления консолей. Согласованный с модулем Юнга мостиков результат достигается только для модели балки на упругом основании с выносной консолью.

## Благодарности

Авторы благодарят А.А. Красилина за предоставление и подготовку к АСМ-исследованиям образцов синтетических наносвитков состава  $\text{MgNi}_2\text{Si}_2\text{O}_5(\text{OH})_4$  и М.Б. Бабенкова за помощь в расчетах.

## Финансирование работы

Работа выполнена при поддержке Российского научного фонда (грант № 19-13-00151).

## Конфликт интересов

Авторы заявляют, что у них нет конфликта интересов.

## Список литературы

- [1] J.-P. Salvetat, A.J. Kulik, J.-M. Bonard, G.A.D. Briggs, T. Stöckli, K. Méténier, S. Bonnamy, F. Béguin, N.A. Burnham, L. Forró, *Adv. Mater.*, **11** (2), 161 (1999). DOI: 10.1002/(SICI)1521-4095(199902)11:2<161::AID-ADMA161>3.0.CO;2-J
- [2] S. Cuenot, S. Demoustier-Champagne, B. Nysten, *Phys. Rev. Lett.*, **85** (8), 1690 (2000). DOI: 10.1103/PhysRevLett.85.1690
- [3] A. Kis, *Mechanical properties of mesoscopic objects*, PhD thesis (EPFL, Lausanne, 2003).
- [4] L.D. Landau, E.M. Lifshitz, *Theory of elasticity* (Pergamon, Oxford, 1970), p. 89.
- [5] A.V. Ankudinov, *Semiconductors*, **53** (14), 1891 (2019). DOI: 10.1134/S1063782619140021
- [6] M.M. Khalisov, V.A. Lebedev, A.S. Poluboyarinov, A.V. Garshev, E.K. Khrapova, A.A. Krasilin, A.V. Ankudinov, *Nanosyst: Phys., Chem., Math.*, **12** (1), 118 (2021). DOI: 10.17586/2220-8054-2021-12-1-118-127
- [7] D. Gangadéan, D.N. McIlroy, B.E. Faulkner, D.E. Asto, *Nanotechnology*, **21**, 225704 (2010). DOI: 10.1088/0957-4484/21/22/225704
- [8] С.П. Тимошенко, *Сопротивление материалов: элементарная теория и задачи* (Наука, М., 1965), т. 1, с. 155.
- [9] А.Н. Крылов, *О расчете балок, лежащих на упругом основании* (АН СССР, Л., 1931), с. 24.
- [10] E.K. Khrapova, V.L. Ugolkov, E.A. Straumal, S.A. Lermontov, V.A. Lebedev, D.A. Kozlov, T.S. Kunkel, A. Nominé, S. Bruyere, J. Ghanbaja, T. Belmonte, A.A. Krasilin, *ChemNanoMat*, **7** (3), 257 (2021). DOI: 10.1002/cnma.202100018
- [11] А.В. Анкудинов, М.М. Халисов, *ЖТФ*, **90** (11), 1951 (2020). DOI: 10.21883/JTF.2020.11.49989.117-20 [A.V. Ankudinov, M.M. Khalisov, *Tech. Phys.*, **65** (11), 1866 (2020). DOI: 10.1134/S1063784220110031].
- [12] V.L. Popov, *Contact mechanics and friction: physical principles and applications* (Springer, Germany, 2017), p. 57. DOI: 10.1007/978-3-662-53081-8\_18